

УДК 621.327:681.5

**А.В. Яковенко,**

кандидат технических наук,  
старший научный сотрудник,

**Н.А. Харченко,**

**А.В. Хаханова,**

кандидат технических наук, доцент

## МЕТОД РЕКОНСТРУКЦІИ ПРЕДСКАЗЫВАЕМЫХ КАДРОВ В ТЕЛЕКОММУНИКАЦІОННЫХ ТЕХНОЛОГІЯХ КОДИРОВАНІЯ ВІДЕОТРАФІКА

В статье изложен метод декодирования предсказываемых кадров с использованием полиадических чисел в телекоммуникационных системах. Описана технология определения информационной части из общего потока принятого кода. Определено количество операций на выполнение декодирования сегмента изображения в предсказываемых кадрах.

**Ключевые слова:** трансформированные изображения, полиадическое число, декодирование, информационная часть, система оснований, весовой коэффициент, время реконструкции.

У статті викладено метод декодування кадрів, що передбачаються, з використанням поліадичних чисел у телекомунікаційних системах. Описано технологію визначення інформаційної частини із загального потоку прийнятого коду. Визначено кількість операцій на виконання декодування сегмента зображення в кадрах, що передбачаються.

**Ключові слова:** трансформовані зображення, поліадичне число, декодування, інформаційна частина, система основ, ваговий коефіцієнт, час реконструкції.

*Method of the predicted frames decoding, using polyadic numbers in telecommunication systems, is stated. The technology of information part extraction from the general flow of the received code is considered. A number of operations for the performing of an image segment in the predicted frames decoding is determined.*

**Keywords:** transformed images, polyadic number, decoding, information part, system bases, weighting factor, reconstruction.

Анализ современных алгоритмов сжатия показал наличие существенных недостатков при статистическом кодировании видеопотока, устранение которых возможно при использовании метода компрессии на базе полиадического кодирования. Такой метод позволяет производить формирование кода в соответствии с заданными значениями битовой скорости, качества реконструкции изображения и уменьшения времени кодирования в сравнении со статистическими. Поэтому актуальной является разработка метода восстановления сегментированных изображений в предсказываемых кадрах. Разрабатываемый метод восстановления

заключається в отриманні ісходного сегмента по значенню кода поліадичного числа. Для восстановлення сегмента необхідно наявність службової інформації про розмірах сегмента  $(\zeta; \gamma)$  та системі оснований  $\Lambda(t)^{(\zeta \gamma)}$ , яка визначає довжину інформаційної частини сжатого представлення сегмента зображення, а також її елементи використовуються як складові аналітического виразу, на основі якого виконується декодування елементів стовпців сегмента. Система оснований дозволяє визначити верхню межу  $h_{\max}$  значення кода одномерного поліадичного числа та відповідно максимальне значення кода:

$$N(t)_{\max}^{(\zeta \gamma)} < h_{\max},$$

де  $N(t)_{\max}^{(\zeta \gamma)}$  – максимальне можливе значення кода для заданого вектора оснований  $\Lambda(t)^{(\zeta \gamma)}$ .

Верхня межа  $h_{\max}$  значення кода одномерного поліадичного числа для заданої системи оснований  $\Lambda(t)^{(\zeta \gamma)}$  обчислюється як накопичене добуток всіх елементів, т.е.

$$h_{\max} = \prod_{\eta=1}^n \lambda(t)_\eta \quad (1)$$

Знання верхньої межі  $h_{\max}$  необхідно для визначення довжини кодового представлення  $d_i^{(\zeta \gamma)}$  однієї компоненти  $(\zeta; \gamma)$ -го сегмента. В цьому випадку приймається умова:

$$d_i^{(\zeta \gamma)} = [\log_2 h_{\max}] + 1, \quad (2)$$

де  $d_i^{(\zeta \gamma)}$  – довжина кодового представлення  $i$ -го стовпця  $(\zeta; \gamma)$ -го сегмента;  $[\log_2 h_{\max}] + 1$  – кількість двійкових розрядів на представлення максимального значення кода  $N(t)_{\max}^{(\zeta \gamma)}$  одномерного поліадичного числа.

Тоді довжина  $d_{\text{inf}}^{(\zeta \gamma)}$  всієї інформаційної частини кодової послідовності складає:

$$d_{\text{inf}}^{(\zeta \gamma)} = m([\log_2 h_{\max}] + 1) = m \left( \left[ \log_2 \prod_{\eta=1}^n \lambda(t)_\eta \right] + 1 \right), \quad (3)$$

де  $m$  – кількість стовпців сегмента зображення;  $m([\log_2 h_{\max}] + 1)$  – кількість розрядів на представлення  $m$  кодів поліадичних чисел.

Структура пакета передбачає наявність службової та інформаційної частин, загальна довжина  $d^{(\zeta \gamma)}$  собраної кодової послідовності визначається як кількість біт, якими представлена службова частина  $d_s^{(\zeta \gamma)}$  та довжина кодового представлення всіх стовпців  $(\zeta; \gamma)$ -го сегмента  $d_{\text{inf}}^{(\zeta \gamma)}$ ,  $d^{(\zeta \gamma)} = d_s^{(\zeta \gamma)} + d_{\text{inf}}^{(\zeta \gamma)}$ .

Для проведення декодування поліадичних чисел необхідно виділити службову та інформаційну частину собраної кодової послідовності. Це викликано тим, що довжина інформаційної частини може змінюватися для різних

сегментов изображения по нескольким причинам: размеры сегментов изображения могут быть различными; сегменты изображения могут иметь разную систему оснований, что объясняется разной содержательной частью изображения.

Выборка информационной части из общей кодовой последовательности производится исходя из особенностей построения кода. Технология определения информационной части заключается в том, чтобы в общей длине кодовой последовательности определить границу служебной части.

Для этого необходимо:

1. Отвести под длину служебной части  $d_{s,j}^{(\zeta, \gamma)}$  кодового представления полиадического числа для одной  $j$ -ой строки  $(\zeta, \gamma)$ -го сегмента  $b$  бит. Длина кодового представления элемента основания составит  $d_{s,1}^{(\zeta, \gamma)} \dots = \dots d_{s,j}^{(\zeta, \gamma)} \dots = \dots d_{s,n}^{(\zeta, \gamma)} = \log_2 b$ . Тогда длина служебной части  $d_s^{(\zeta, \gamma)}$  всей кодовой последовательности  $(\zeta, \gamma)$ -го сегмента соответственно определяется длинами кодовых представлений всех элементов основания:

$$d_s^{(\zeta, \gamma)} = n d_{s,j}^{(\zeta, \gamma)} = n \log_2 b,$$

где  $n$  – количество строк  $(\zeta, \gamma)$ -го сегмента.

2. Выделить из собранной кодовой последовательности служебную часть. Первый бит всей кодовой последовательности является служебным, а длина ее служебной части составляет  $n \log_2 b$  бит. Следующий за ним  $n \log_2 b + 1$  бит будет информационным.

3. Определить длину информационной части кодового представления  $(\zeta, \gamma)$ -го сегмента. Необходимо перемножить все основания  $\prod_{\eta=1}^n \lambda(t)_\eta$  для  $(\zeta, \gamma)$ -го сегмента по формуле 2. Получим максимальную длину  $d_i^{(\zeta, \gamma)}$  кодового представления одного столбца в сегменте. Затем определим длину  $d_{inf}^{(\zeta, \gamma)}$  кодового представления информационной части всей кодовой последовательности  $N(t)^{(\zeta, \gamma)}$  (формула 3).

4. Позиция первого бита кодового представления следующего сегмента изображения относительно текущего определяется как

$$P_1^{(\zeta+1, \gamma)} = P^{(\zeta, \gamma)} + 1,$$

где  $P^{(\zeta, \gamma)}$  – последняя позиция кодограммы предыдущего сегмента, которая находится как:

$$P^{(\zeta, \gamma)} = n \log_2 b + m \left( \left[ \log_2 \prod_{\eta=1}^n \lambda(t)_\eta \right] + 1 \right).$$

Таким образом, нет необходимости использования маркеров-разделителей для разделения служебной и информационной частей кодовой конструкции.

После выделения информационной части собранной кодовой последовательности начинается процесс восстановления изображения, который состоит из следующих этапов: декодирование полиадического числа, определение типа сегмента, декодирование разностного сигнала для сегмента Р-типа или деквантование и обратное ДКП для сегмента I-типа.

Общая схема процесса реконструкции изображения представлена на рис. 1. На вход декодера поступает совокупность  $\{\Lambda(t)^{(\zeta,\gamma)}; N(t)_i^{(\zeta,\gamma)}\}$ : вектор оснований  $\Lambda(t)^{(\zeta,\gamma)}$  и кодовые представления столбцов  $(\zeta,\gamma)$ -го сегмента  $N(t)_i^{(\zeta,\gamma)}$ .

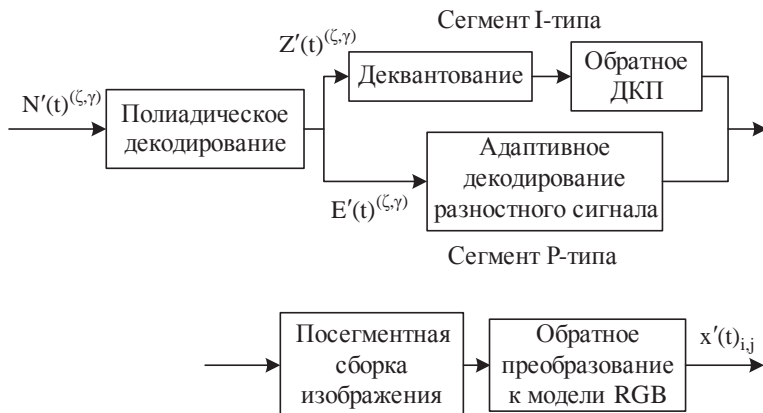
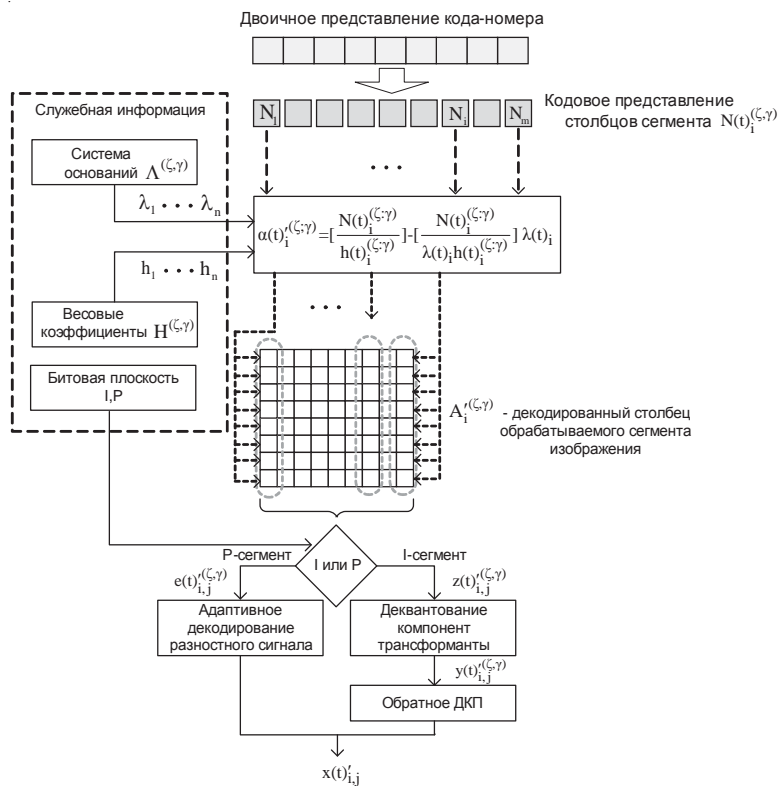


Рис. 1 Общая схема восстановления предсказанного кадра

Процесс декодирования кодового представления сегмента изображения представлен на рис. 2.

Для начала процесса декодирования необходимо иметь вектор оснований  $\Lambda(t)^{(\zeta,\gamma)} = \{\lambda(t)_1, \dots, \lambda(t)_i, \dots, \lambda(t)_n\}$  и вектор весовых коэффициентов  $H(t)^{(\zeta,\gamma)} = \{h(t)_1^{(\zeta,\gamma)}, \dots, h(t)_i^{(\zeta,\gamma)}, \dots, h(t)_n^{(\zeta,\gamma)}\}$  элементов столбцов сегмента изображения.

Рис. 2 Схема декодирования элементов столбцов  $(\zeta,\gamma)$ -го сегмента предсказываемого кадра.

Весовые коэффициенты для элементов  $i$ -го столбца  $(\zeta, \gamma)$ -го сегмента определяются на основании выражения:

$$h(t)_i^{(\zeta, \gamma)} = \prod_{z=1}^n \lambda(t)_z. \quad (4)$$

С учетом системы оснований  $\Lambda(t)^{(\zeta, \gamma)}$  для  $i$ -го столбца  $(\zeta, \gamma)$ -го сегмента и весовых коэффициентов, процедура декодирования компоненты  $\alpha(t)_i'{}^{(\zeta, \gamma)}$  трансформанты строится по следующему правилу:

$$\alpha(t)_i'{}^{(\zeta, \gamma)} = \left[ \frac{N(t)_i^{(\zeta, \gamma)}}{h(t)_i^{(\zeta, \gamma)}} \right] - \left[ \frac{N(t)_i^{(\zeta, \gamma)}}{\lambda(t)_i h(t)_i^{(\zeta, \gamma)}} \right] \lambda(t)_i, \quad i=1,m, \quad (5)$$

где  $\alpha(t)_i'{}^{(\zeta, \gamma)}$  – декодированный элемент  $i$ -го столбца сегмента;  $N(t)_i^{(\zeta, \gamma)}$  – кодовое представление  $i$ -го столбца сегмента;  $\lambda(t)_i$  – основание элемента  $i$ -го столбца сегмента.

Для дальнейшей обработки необходимо определить тип декодированного кадра. При формировании кодированной информации в передатчике возможны 2 варианта передачи необходимой служебной информации. В первом случае, при формировании кадров вместе с полезной информацией передаются некоторые характеристики сегмента изображения, которые позволяют при приеме определить его тип, либо в передатчике формируется маркер с конкретным указателем типа передаваемого сегмента.

Далее, в зависимости от типа обрабатываемого сегмента, производится либо адаптивное декодирование предсказанного сигнала, либо деквантование и обратное ДКП. Восстановление значений предсказанного сигнала заключается в том, что к предыдущему значению компоненты прибавляется полученная разность,  $x(t)_{i,j}'{}^{(\zeta, \gamma)} = x'(t-1)_{i,j} + e'(t)_{i,j}$ . Для получения элементов  $y(t)_{i,j}'{}^{(\zeta, \gamma)}$  деквантованного сегмента  $Y(t)'{}^{(\zeta, \gamma)}$  трансформанты ДКП, производится умножение элементов  $z(t)_{i,j}'{}^{(\zeta, \gamma)}$  декодированного трансформированного сегмента  $Z(t)'{}^{(\zeta, \gamma)}$  изображения на элементы  $q_{i,j}$  матрицы квантования,  $y(t)_{i,j}'{}^{(\zeta, \gamma)} = z(t)_{i,j}'{}^{(\zeta, \gamma)} \cdot q_{i,j}$ . Далее выполняется обратное ДКП сегмента изображения на основе процедуры:

$$x(t)_{i,j}' = \frac{1}{\sqrt{mn}} C(i) C(j) \sum_{i=1}^{n-1} \sum_{j=1}^{m-1} y(t)_{i,j}' \cos \left[ \frac{(2\zeta+1)i\pi}{2n} \right] \cdot \cos \left[ \frac{(2\gamma+1)j\pi}{2m} \right],$$

где  $C(x) = \begin{cases} \frac{1}{\sqrt{2}}, & x=0 \\ 1, & x \neq 0 \end{cases}$ ,  $x(t)_{i,j}'$  – элемент восстановленного сегмента изображения.

Оценка характеристик процесса восстановления трансформированного сегмента изображения базируется на оценке величины среднеквадратичного отклонения и времени выполнения операций реконструкции одной трансформантой изображения.

Время реконструкции  $T'(\zeta, \gamma)$  сегмента изображения определяется общим временем декодирования  $(\zeta, \gamma)$ -го сегмента, временем сборки сегментов изображения и, либо адаптивного декодирования разностного сигнала в случае обработки сегмента Р-типа, либо деквантования и выполнения обратного ДКП в случае обработки сегмента I-типа, т.е.:

$$T'(\zeta, \gamma) = \begin{cases} T_{dc}^{(\zeta, \gamma)} + T_{dr}^{(\zeta, \gamma)} + T_s^{(\zeta, \gamma)}, & \text{если P} \\ T_{dc}^{(\zeta, \gamma)} + T_{dq}^{(\zeta, \gamma)} + T_{odcp}^{(\zeta, \gamma)} + T_s^{(\zeta, \gamma)}, & \text{если I} \end{cases}$$

где  $T_{dc}^{(\zeta, \gamma)}$  – время декодирования  $(\zeta, \gamma)$ -го сегмента изображения на основе полиадического числа;  $T_{dr}^{(\zeta, \gamma)}$  – время адаптивного декодирования разностного сигнала;  $T_{dq}^{(\zeta, \gamma)}$  – время деквантования  $(\zeta, \gamma)$ -го сегмента изображения;  $T_{odcp}^{(\zeta, \gamma)}$  – время выполнения обратного дискретного косинусного преобразования;  $T_s^{(\zeta, \gamma)}$  – время сборки сегментов изображения.

Временные затраты на декодирование полиадического числа одного сегмента  $T_{dc}^{(\zeta, \gamma)}$  определяется временем декодирования кода для всех столбцов  $(\zeta, \gamma)$ -го сегмента изображения:

$$T_{dc}^{(\zeta, \gamma)} = \sum_{i=1}^m t_{dci} = mt_{dci}, \quad (7)$$

где  $t_{dci}$  – время восстановления одного столбца сегмента.

Время декодирования  $t_{dci}$  одного  $j$ -го столбца, состоящего из  $n$  элементов, определяется по формуле:

$$t_{dci} = \sum_{i=1}^n t_{dci,j} = nt_{dci,j}, \quad (8)$$

где  $t_{dci,j}$  – время получения элемента столбца.

Учитывая выражение (8), формула (7) примет вид:

$$T_{dc}^{(\zeta, \gamma)} = \sum_{i=1}^m \sum_{j=1}^n t_{dci,j} = mnt_{dci,j}.$$

Время реконструкции  $T'(\zeta, \gamma)$  трансформированного  $(\zeta, \gamma)$ -го сегмента изображения зависит от общего количества арифметических операций умножения, деления и вычитания, выполненных на всех этапах реконструкции сегмента.

Для декодирования одной компоненты сегмента необходимо выполнить одну операцию сложения в случае преобразования сегмента Р-типа, и по две операции деления, умножения и одну операцию вычитания в случае обработки сегмента I-типа. Количество арифметических операций, выполняемых при реконструкции сегмента изображения, приведено в табл. 1.

Из табл. 1 видно, что при реализации предложенного метода декодирования количество арифметических операций при декодировании сегмента Р-типа уменьшается. Однако даже при обработке сегментов I-типа рассмотренный метод декодирования по количеству затрачиваемых операций не превосходит суммарные затраты на деквантование и обратное ДКП, что не оказывает существенного влияния на полное время восстановления изображения.

Таблица 1

#### Арифметические операции, выполняемые при реконструкции сегмента

Арифметические операции	Деление	Умножение	Вычитание (сложение)
Сегмент Р-типа			
Декодирование компоненты сегмента (операций)	2	2	1
Декодирование сегмента изображения ( $m \times n$ ) (операций)	$2mn$	$2mn$	$mn$
Адаптивное декодирование разностного сигнала ( $m \times n$ ) (операций)	–	–	$mn$
Сегмент I-типа			
Декодирование компоненты сегмента (операций)	2	2	1
Декодирование трансформанты ( $m \times n$ ) (операций)	$2mn$	$2mn$	$mn$
Деквантование трансформанты ( $m \times n$ ) (операций)	–	$mn$	–
Обратное ДКП трансформанты ( $m \times n$ ) (операций)	–	$2mn\log_2 mn$	$2mn\log_2 mn$

#### Выводы

1. Разработан метод декодирования изображений с использованием полиадических чисел. Определено количество операций на выполнение декодирования сегмента изображения в предсказываемых кадрах.

2. Рассмотренный метод восстановления изображений имеет ряд преимуществ, в сравнении со статистическими декодерами, а именно:

- нет необходимости в использовании маркеров для разделения служебной и информационной частей при формировании пакетов данных;

- повышение помехоустойчивости, т.к. ошибки могут распространяться только в пределах одного кода полиадического числа, таким образом, их влияние распространяется только на один столбец, а не на весь сегмент.

- элементы восстанавливаемого сегмента декодируются независимо друг от друга, что позволяет применять параллельную обработку данных, что также снижает время, затрачиваемое на обработку данных.

– нет необходимости в использовании кодовых таблиц и алгоритмов поиска по ним, т.к. вся необходимая информация передается в служебной части вместе с кодом.

### **СПИСОК ИСПОЛЬЗОВАННЫХ ИСТОЧНИКОВ**

1. *Баранник В.В.* Кодирование трансформированных изображений в инфокоммуникационных системах / В.В. Баранник, В.П. Поляков. – Х. : ХУПС, 2010. – 212 с.
2. *Харченко Н.А.* Анализ обработки предсказываемых кадров в технологии сжатия трансформированных изображений / Н.А. Харченко // Сучасна спеціалізована техніка. – 2012. – № 2.
3. *Харченко Н.А.* Метод компрессии видеопотока на основе обработки предсказываемых кадров в телекоммуникационных системах / Н.А. Харченко, В.В. Баранник // АСУ та прилади автоматики. – Харків, 2012.
4. *Харченко Н.А.* Способ обработки видеокадров с использованием технологии предсказания / Н.А. Харченко // Перспективные компьютерные управляющие и телекоммуникационные системы для железнодорожного транспорта Украины : тезисы докладов на 25-ой Международной научно-практической конференции. – Алушта, 2012.

Отримано 24.10.2012